

ERRATUM

zu

Schesa-Bruchkessel, Bürserberg-Vorarlberg: Mehrphasiger Murschuttfächeraufbau, Ausräumungsgeschichte, Sanierung durch Rückböschung

Schesa-Gully, Bürserberg-Vorarlberg: Polyphasal Mud Flow Fan, History of Erosion, Stabilising trough Mining

von

Heiner BERTLE

Mitt. Ges. Geol. Bergbaustud. Österr.	42	S. 139-179	Wien 1999
---------------------------------------	----	------------	-----------

Anschrift des Verfassers, address of the author:
DDr. HEINER BERTLE
Ingenieurkonsulent für Technische Geologie
Kronengasse 6
A-6780 Schruns
Austria

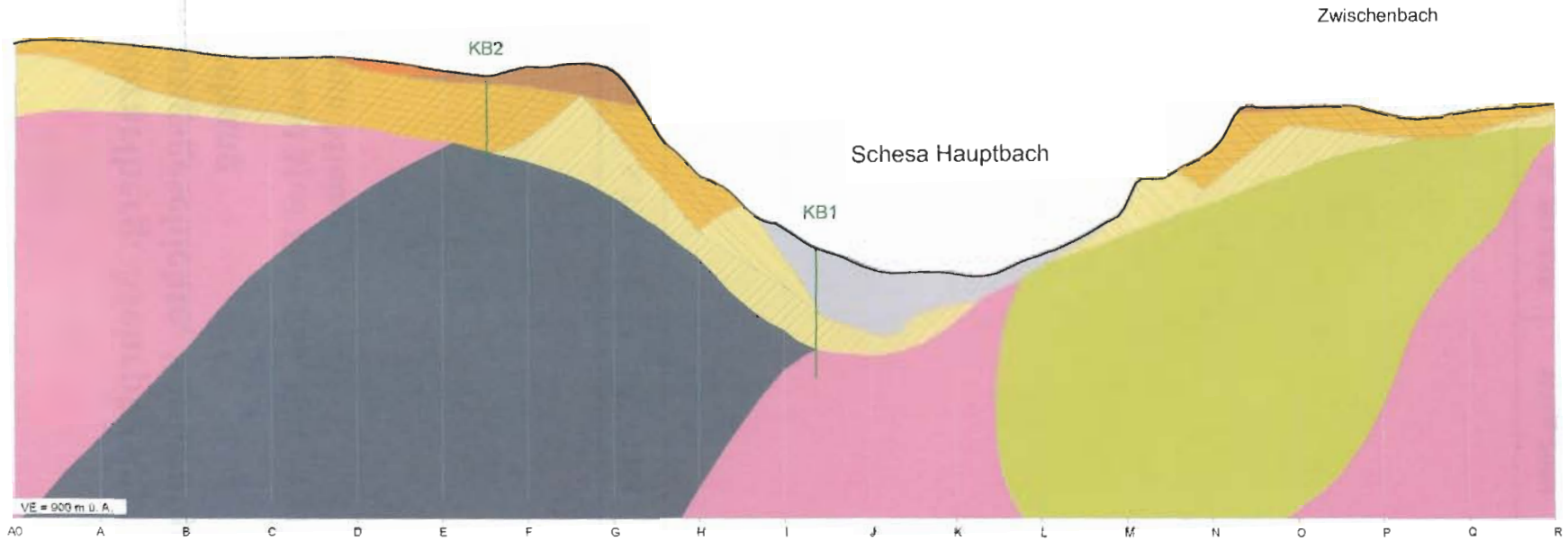
Mitt. Ges. Geol. Bergbaustud. Österr.	44	S. 281-288	Wien 2000
---------------------------------------	----	------------	-----------

TAFEL 1

Geologischer Profilschnitt 7 mit Sedimentstrukturen. / Cross section 7 with sedimentary structures.

PROFIL: 7

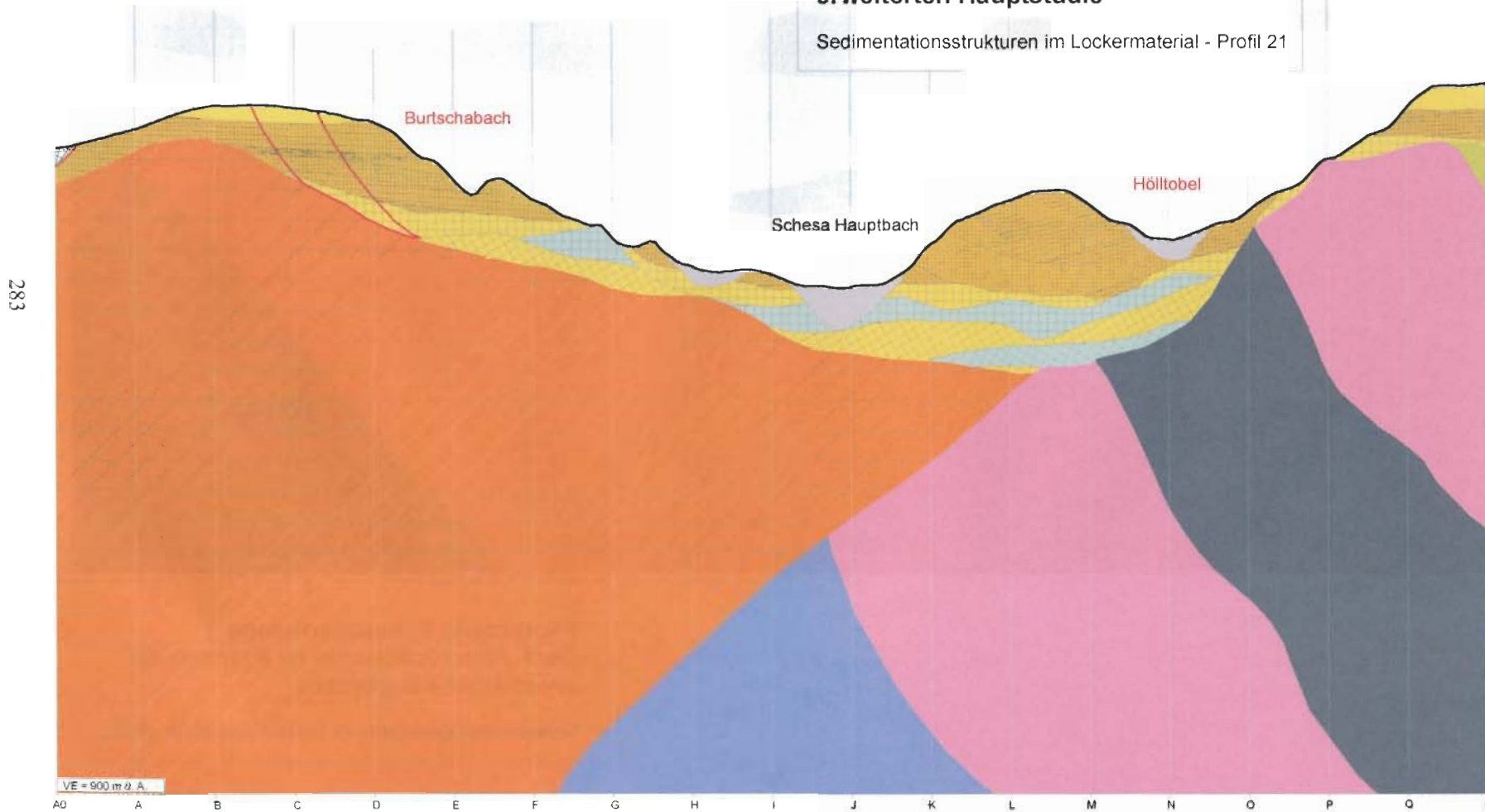
Pilotprojekt Schesasanierung
Geol. Abschlußbericht im Rahmen der
erweiterten Hauptstudie
Sedimentationsstrukturen im Lockermaterial - Profil 7



PROFIL: 21

Pilotprojekt Schesasanierung Geol. Abschlußbericht im Rahmen der erweiterten Hauptstudie

Sedimentationsstrukturen im Lockermaterial - Profil 21



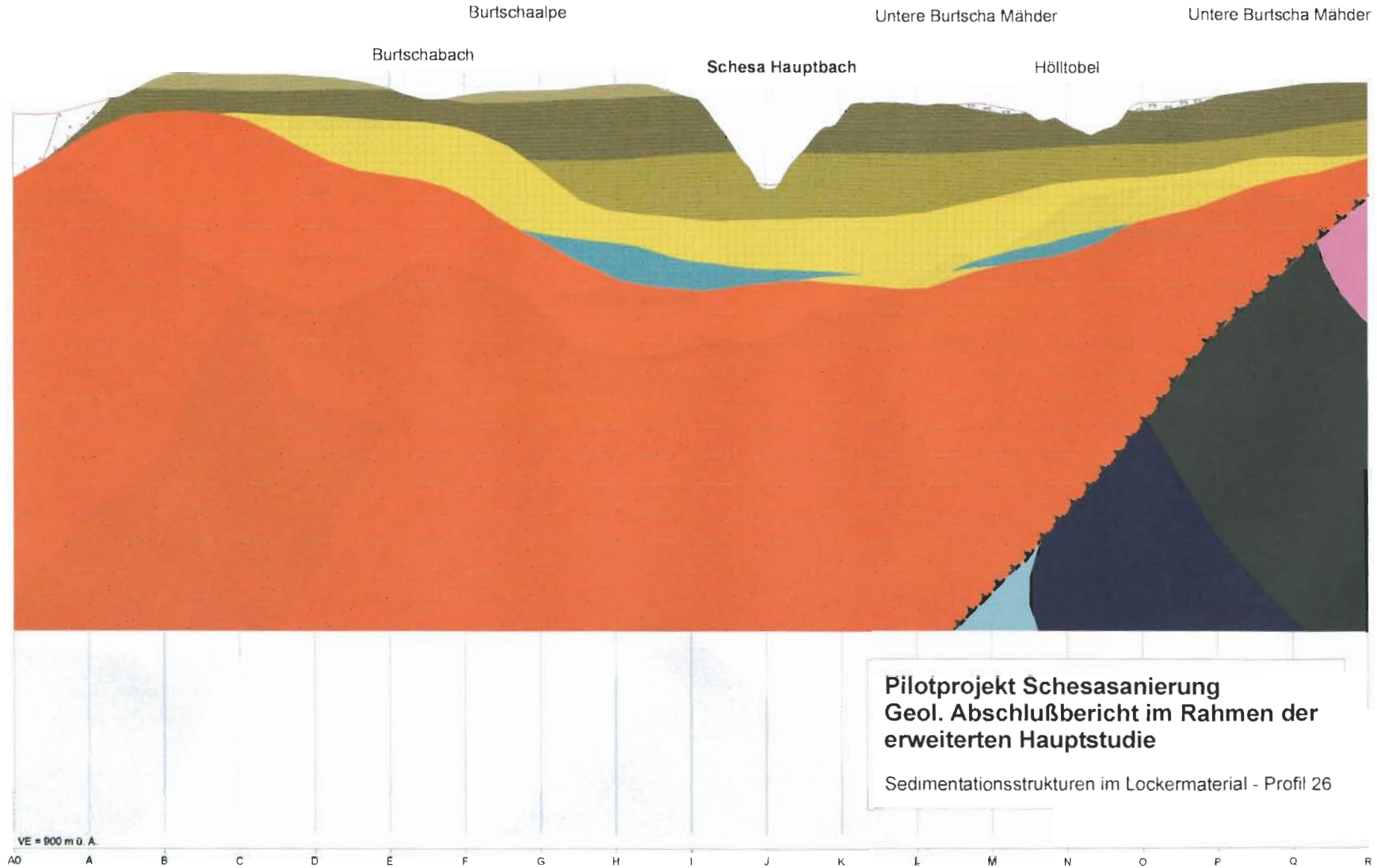
Geologischer Profilschnitt 21 mit Sedimentstrukturen. / Cross section 21 with sedimentary structures.

TAFEL 2

TAFEL 3

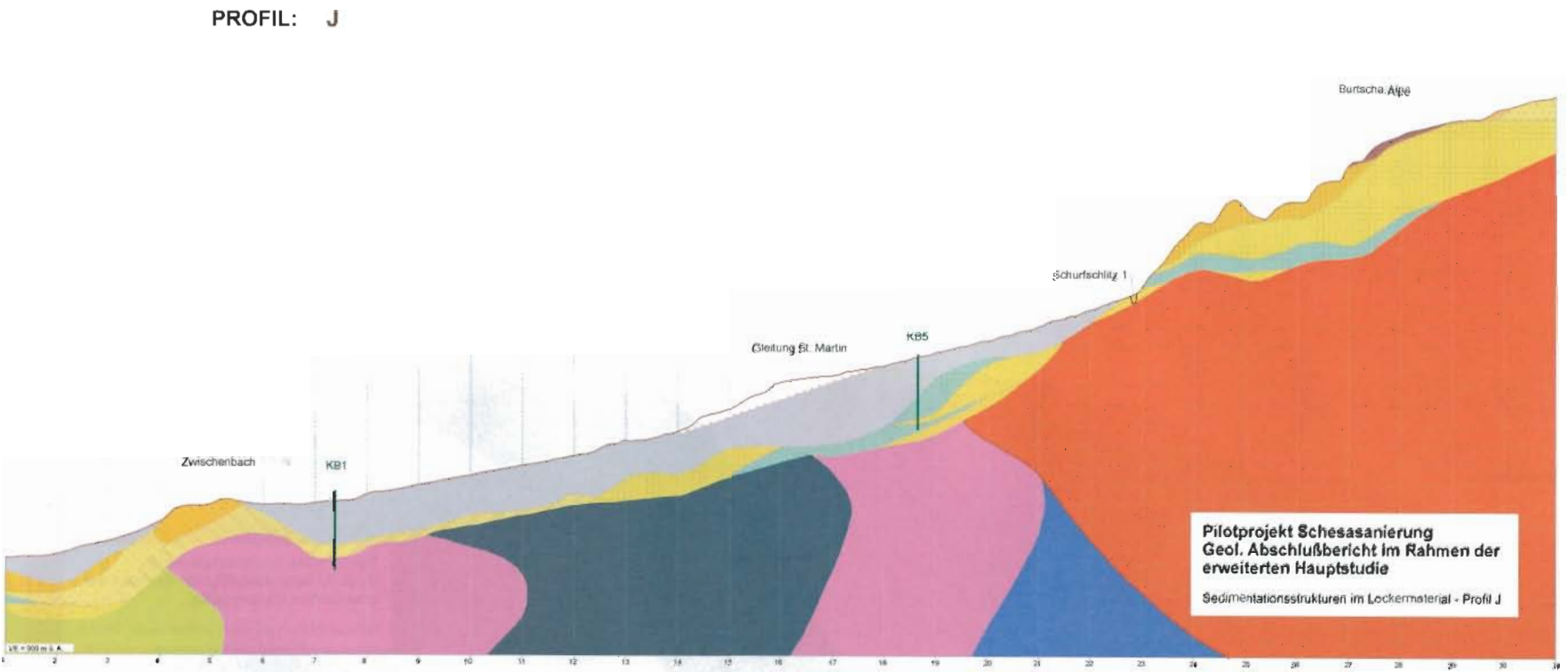
Geologischer Profilschnitt 26 mit Sedimentstrukturen. / Cross section 26 with sedimentary structures.

PROFIL: 26



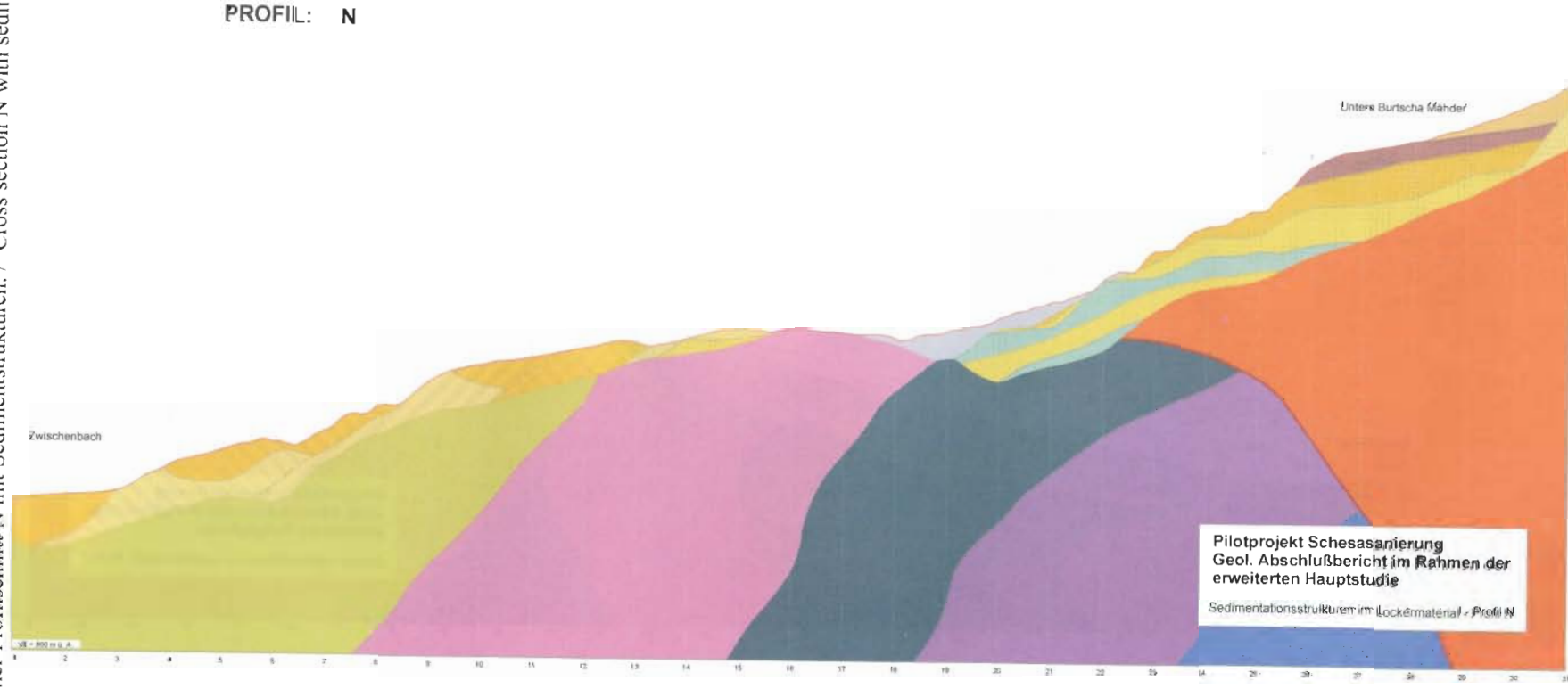
TAFEL 4

Geologischer Profilschnitt J mit Sedimentstrukturen. / Cross section J with sedimentary structures.



TAFEL 5

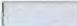

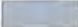


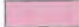

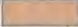











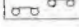





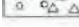


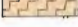















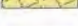


Geologischer Profilschnitt N mit Sedimentstrukturen. / Cross section N with sedimentary structures.



TAFEL 6

Legende zu den Profilschnitten Taf. 1-5. / Legend of cross sections Plates 1-5.

LEGENDE:

	Schesa-Jungschutt		Arosazone nicht differenziert
	Hangschutt		Raibler Gips
	Gleitungs masse		Raibler Formation
	Felssturzmasse		Arlberg Formation
	Rückzug- Übergußschichten		Partnach Formation
	Rückzugsfächer Brenner		Alpiner Muschelkalk Formation
	Rückzugsmoräne Brenner		Quellen
	Rückzugsfächer Zwischenbach		Gerinne
	Rückzugsmoräne Zwischenbach		Vernässungsbereich
	Rückzugsfächer Gaschiera II		Schichtung d. Lockermassen undiff.
	Rückzugsmoräne Gaschiera II		Torf u.a. organogene Ablagerungen
	Rückzugsfächer Gaschiera I		schluffig-tonig-feinsandige Stausedimente
	Rückzugsmoräne Gaschiera I		sandig-kiesige Ablagerungen
	Rückzugsfächer Ilmkopf II		Grobschotter unverfestigt und Konglomerate und Breccien
	Rückzugsmoräne Ilmkopf II		Deckengrenze
	Übergußschichten Schesa		Abriß- u. Hauptbewegungsfugen von Hangbewegungen
	Deckschichte Schesa (Vorstoß)		Felsoberfläche
	Vorstoßmoräne Ilmkopf		Bohrpunkte
	Rückzugsfächer Ilmkopf I (Schesahauptschüttung)		Schurfschlütze
	Rückzugsmoräne Ilmkopf I		Seismik-Profile
	Rückzugsmoräne Burtschaalpe		Altersdatierung und/oder Pollennachweis
	Grundmoräne Würm jung		Glaciale und Eisrandbildungen
	Interstadial Würm jung		Lage der Profilschnitte 1-31; A-R
	Grundmoräne Würm mittel		
	Interstadial Würm alt		
	Grundmoräne Würm alt		

TAFEL 7

3-D-Modelle der Felsoberfläche (Fig. 1), der Oberfläche der älteren, ausgeräumten Würm-Interstadialfüllung (Fig. 2) und der Oberfläche der jüngeren Würm-Interstadial-Füllung des Bruchessels (Fig. 3). / 3-D-model of the bed rock (fig. 1); the surface of the older, eroded Würm-interstadial-filling (fig. 2) and the surface of the younger Würm-interstadial-filling of the Schesa-gully (fig. 3).

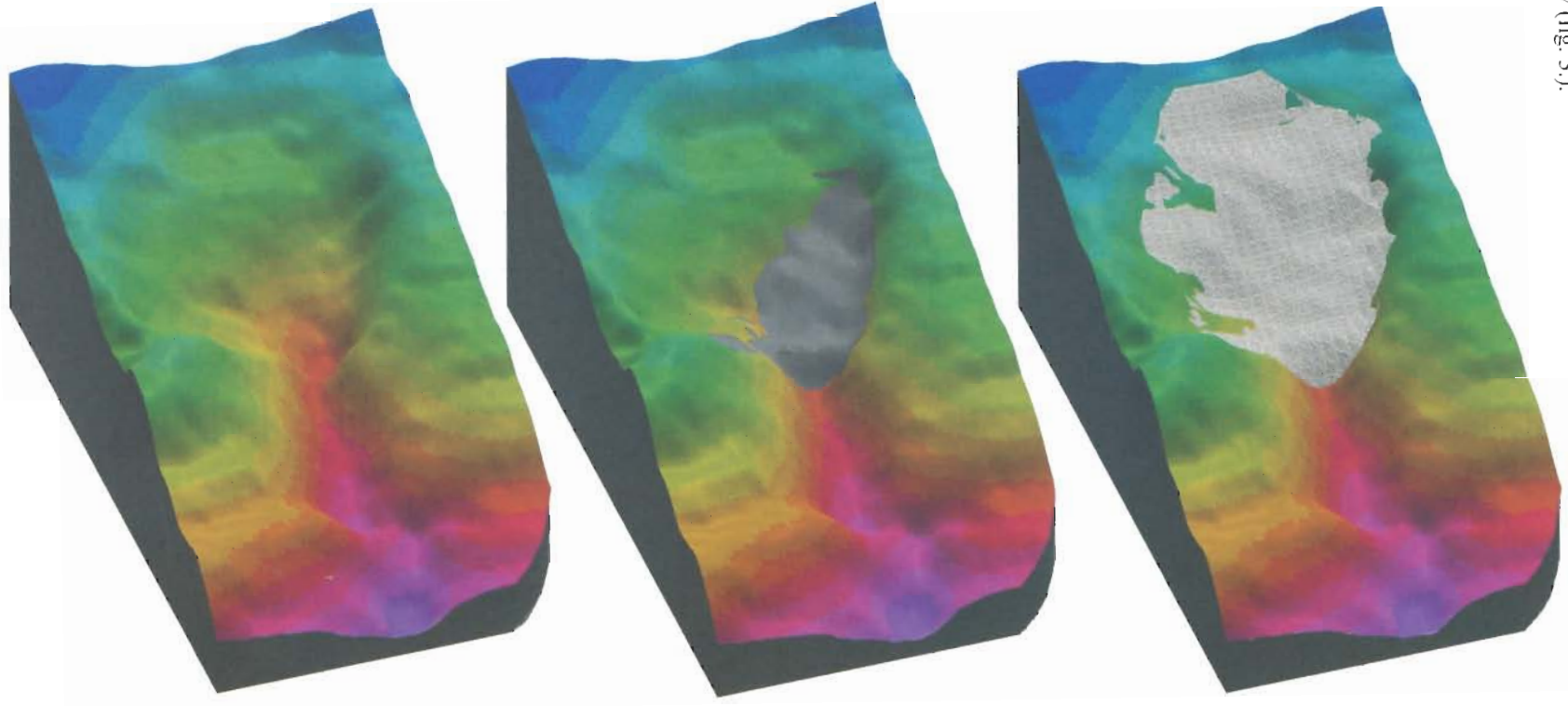


Fig. 1) 3-D Modell der Felsoberfläche

Fig. 2) 3-D Modell der Oberfläche der älteren, ausgeräumten Würm-Interstadial-Füllung des Bruchessels

Fig. 3) 3-D Modell der Oberfläche der jüngeren Würm-Interstadial-Füllung des Bruchessels